

положительный параметр [8, 9]. На рис. 2 сплошной линией показано точное, штриховой — восстановленное решение.

Результаты модельного восстановления зависимостей  $\sigma(\varepsilon_r)$  по контуру линии флуоресценции следует расценивать как вполне обнадеживающие и, таким образом, экспериментаторам уместно рекомендовать постановку таких измерений  $I_B(v)$ , по которым можно было бы предпринять определение  $\sigma(\varepsilon_r)$  в абсолютной метрике и с погрешностью, не превышающей 10—15%.

Авторы благодарны Э. К. Краулине и С. Я. Лиепе за полезные обсуждения задачи.

### Литература

- [1] M. Czajkowski, L. Krause. Can. J. Phys., 52, 2228, 1974.
- [2] Э. К. Краулинг, В. А. Круглевский. В сб.: Сенсибилизированная флуоресценция смесей паров металлов. Латв. ГУ, вып. 6, Рига, 1977.
- [3] J. Brochard, R. Vetter. J. Phys., 38, 121, 1977.
- [4] E. C. Whipple. Phys. Fluids, 15, 988, 1972.
- [5] E. C. Whipple. J. Chem. Phys., 60, 1345, 1974.
- [6] E. C. Whipple, T. E. van Zandt, C. H. Love. J. Chem. Phys., 62, 3024, 1975.
- [7] А. Н. Тихонов, В. Я. Арсенин. Методы решения некорректных задач. Наука, М., 1974.
- [8] А. В. Крянев. ДАН СССР, 210, 20, 1973.
- [9] А. Е. Булышев, Г. А. Веденников. В сб.: Физическая газодинамика, ИТПМ, Новосибирск, 1976.

Поступило в Редакцию 18 января 1978 г.

УДК 535.317.1 : 543.0

## ОТРАЖАТЕЛЬНЫЕ ГОЛОГРАММЫ НА КРИСТАЛЛАХ NaCl-Сa

A. N. Кравец, M. K. Касымов и A. B. Чуманов

В работах [1-5] показана возможность записи объемных амплитудно-фазовых пропускающих голограмм на окрашенных кристаллах NaCl-Сa с дифракционной эффективностью (ДЭ) 5—8% и пространственной частотой  $f$  до 700 лин./мм. В настоящей работе исследована температурная зависимость кинетики ДЭ отражательных голограмм с  $f = 7.1 \cdot 10^3$  лин./мм. Голограммы записывали Не—Cd лазером ЛГ-31 (441.6 нм), работающим в одномодовом режиме.

Пластиинки  $10 \times 15 \times 1$  мм<sup>3</sup> выкалывали из монокристалла NaCl+0.27% Ca и окрашивали рентгеновским излучением (трубка BXB-7-Cu, 15 кВ, 50 мА) при температуре 20° С в течение 20 мин до оптической плотности 2.5 ( $\lambda=441.6$  нм). Средняя глубина окрашенного слоя составляла 150 мкм. Окрашенный кристалл помещали в специальном держателе с печкой и нагревали в темноте со средней скоростью 0.5° С/с. Во время записи голограммы температуру кристалла стабилизировали с точностью 0.1° С. После записи кристалл охлаждали со средней скоростью 1° С/с. С помощью полуупрозрачного зеркала луч лазера делили на два луча одинаковой интенсивности 5 мВт/см<sup>2</sup>. Луч I падал на окрашенную поверхность кристалла под углом  $\theta_1 = 6^\circ$ , луч II — на неокрашенную поверхность кристалла под углом  $\theta_2 = 5^\circ$  (угол схождения лучей 169°). Считывание голограммы производили во время перекрывания луча II при помощи врачающегося диска с сектором. При этом луч I, отраженный от поверхности кристалла, шел под другим углом, чем дифрагированный луч, интенсивность которого измерялась ФЭУ-51, работавшим в линейном режиме. Кинетику ДЭ записывали шлейфовым осциллографом Н-105 на ленту шириной 120 мм. Калибровку ФЭУ проводили с помощью компенсационного теплоприемника из 60 термопар и набора светофильтров с известным пропусканием.

На рисунке приведены зависимость максимального значения ДЭ голограммы от температуры кристалла (кривая 1) и кинетика ДЭ при 100° С (кривая 2). При 100° С затраты энергии на достижение 1% ДЭ составляли  $H = 25$  мДж/см<sup>2</sup>, а максимального значения ДЭ (1.65%) — 40 мДж/см<sup>2</sup>. Зависимость  $\ln H$  от  $1/T$  К оказалась линейной, что свидетельствует об активационном характере процесса записи голограмм с энергией активации 0.52 эВ. Нагрев кристалла выше 100° С приводит к его термообесцвечиванию [2], что уменьшает ДЭ, поэтому температура 100—110° С является оптимальной.

Пространственная частота голограммической решетки в нашей схеме равна [6]

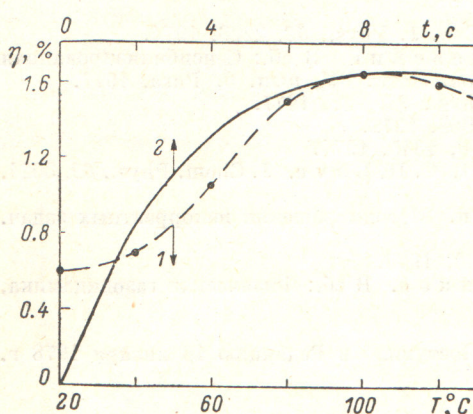
$$f = \frac{2}{\lambda} \sqrt{n^2 - \sin^2 \theta_2} = 7.1 \cdot 10^3 \text{ лин/мм},$$

где  $n=1.56$  — показатель преломления кристалла.

Полуширина кривой угловой селекции голограммы, записанной при  $100^\circ\text{C}$  и охлажденной до  $23^\circ\text{C}$ , составляла  $2\Delta\theta_{1/2}=50'$ , поэтому толщина голограммы приближенно равна [6]  $d=\lambda/4\Delta\theta_{1/2}\sin\theta_1=145 \text{ мкм}$ , т. е. близка к средней глубине окрашенного слоя.

Исследование спектров поглощения кристалла показало, что при  $\lambda=441.6 \text{ нм}$  средняя оптическая плотность в голограмме  $D=0.59$ , а оптическая плотность «фона», обусловленного наложением на  $F$ -полосу полос поглощения других центров окраски ( $M$ ,  $R$ ,  $V_2$ ,  $V_3$ ,  $Z_1$ ),  $D_\phi=0.08$ . Максимальное значение амплитуды модуляции оптической плотности в голограмме  $D_1=D-D_\phi=0.51$ . Однако значение  $D_1$  не одинаково по глубине окрашенного слоя и меняется в процессе записи голограммы. Это обусловлено тем, что видность интерференционной картины

$$P = \frac{2\sqrt{\alpha}}{\alpha + 1}$$



Зависимость максимального значения ДЭ отражательной голограммы от температуры окрашенного кристалла  $\text{NaCl-Ca}$  (1) и зависимость ДЭ от времени экспозиции при  $100^\circ\text{C}$  (2).

$c=\cos 60^\circ/\cos 45^\circ=1$  для нашей схемы записи и равно [6]

$$\eta_1 = 1/(2 + \sqrt{3}) \operatorname{ctg} h \frac{\sqrt{3}}{2} D = 3.1\%$$

При  $D/D_1=2$   $\eta_1$  уменьшается до  $0.64\%$ , т. е. становится значительно меньше наблюдаемого значения —  $1.65\%$ . Модуляция оптической плотности сопровождается [1-4] модуляцией показателя преломления с амплитудой  $n_1=\gamma D_1/d$ , где  $\gamma=1.7 \cdot 10^{-5} \text{ см}$ . При  $D/D_1=2$ , т. е.  $D_1=0.3$ ,  $n_1=3.4 \cdot 10^{-4}$ , тогда ДЭ фазовой отражательной непоглощающей решетки равна [6]

$$\eta_2 = \operatorname{tg} h^2 (\pi n_1 d) / \lambda \cos \theta_1 = 12.2\%$$

Наличие поглощения приводит [6] к уменьшению  $\eta_2$  до  $3.5\%$ . Таким образом, можно предположить, что полученные отражательные голограммы являются амплитудно-фазовыми, причем  $D/D_1 > 2$ .

Длительное хранение голограмм в темноте (больше месяца) при комнатной температуре не сопровождается уменьшением их ДЭ.

#### Литература

- [1] А. Н. Кравец, П. Д. Березин. Опт. и спектр., 41, 634, 1976.
- [2] А. Н. Кравец, А. А. Жаксылыкова, Ф. С. Кравец. Ж. науч. и прикл. фотогр. и кинематогр., № 5, 359, 1976.
- [3] П. Д. Березин, И. Н. Компанец, А. Н. Кравец. Опт. и спектр., 42, 180, 1977.
- [4] P. D. Beresin, I. N. Kompanez, A. N. Krawez. III Internationale Tagung Laser und ihre Anwendungen. Dresden, 1977.
- [5] А. Н. Кравец, М. К. Касымов, А. В. Чуманов. Опт. и спектр., 43, 1180, 1977.
- [6] H. Kogelnik. Bell Syst. Tech. J., 48, 2909, 1969.

Поступило в Редакцию 7 февраля 1978 г.